

## МЕТОДИКА ОПРЕДЕЛЕНИЯ ЛОКАЛЬНЫХ УПРУГОПЛАСТИЧЕСКИХ НАПРЯЖЕНИЙ И ДЕФОРМАЦИЙ В УСЛОВИЯХ СОВМЕСТНОГО ЦИКЛИЧЕСКОГО РАСТЯЖЕНИЯ-СЖАТИЯ И ИЗГИБА

В современных авиационных конструкциях широкое применение нашли фрезерованные панели, для которых характерно изменение толщины как по ширине, так и по длине. В местах переходов толщин наряду с напряжениями растяжения-сжатия, пропорциональными действующей нагрузке, возникают дополнительные напряжения от изгиба. В общем случае изгибные напряжения нелинейно зависят от действующей нагрузки, что связано с изменением эксцентриситета при растяжении и сжатии панели.

Для расчета долговечности по локальному напряженно – деформированному состоянию необходимо знать параметры локальных циклов деформирования, в частности амплитудные и средние напряжения, амплитудные полные и остаточные деформации.

В данной работе изложена методика определения параметров локальных циклов деформирования для элементов конструкции с концентраторами напряжений в виде отверстия и совместном нагружении растяжением-сжатием и изгибом.

Для определения параметров локального деформирования материала в концентраторе находят применение различные приближенные зависимости. Широкое распространение получила формула Нейбера с различными поправочными функциями [1,2]

$$\sigma_a \cdot \varepsilon_{at} = K_T^2 \cdot \sigma_{aH} \cdot \varepsilon_{atH} \cdot F_M, \quad (1)$$

где  $\sigma_a$  - амплитуда локальных упругопластических напряжений;

$\sigma_{aH}, \varepsilon_{aH}$  - амплитуды номинальных напряжения и деформации;

$K_T$  - теоретический коэффициент концентрации напряжений при упругом деформировании материала;

$F_M$  - поправочная функция;

$\varepsilon_{at}$  - амплитуда полной упругопластической деформации, которая определена по уравнению циклического деформирования

$$\varepsilon_{at} = \varepsilon_{ae} + \varepsilon_{ap},$$

где  $\varepsilon_{ae} = \frac{\sigma_a}{E}$  - амплитуда упругой деформации;

$\varepsilon_{ap} = (1 + t) \cdot \varepsilon_{ar}$  - амплитуда  
пластической деформации;

$$\varepsilon_{ar} = \varepsilon_{ar}^* = \left( \frac{\sigma_a}{K (\sigma_m)} \right)^{\frac{1}{m}} \quad - \quad \text{среднее}$$

значение амплитуды остаточной деформации в однородном поле напряжений. Под амплитудой остаточной деформации понимаем значение деформации при равенстве текущих номинальных напряжений нулю или их среднему значению.

$K$ ,  $m$  - коэффициенты уравнения диаграммы циклического деформирования;  
 $\sigma_m$  - среднее локальное напряжение;

$$t = \frac{1}{2^{\gamma-1} - 1}; \quad \gamma = 2 + h \cdot \frac{\varepsilon_{ar}}{\varepsilon_{at}}; \quad h - \text{параметры контура петли гистерезиса.}$$

С учетом приведенных соотношений, уравнение циклического деформирования можно записать в виде

$$\varepsilon_{at} = \frac{\sigma_a}{E} + (1 + t) \cdot \left( \frac{\sigma_a}{K (\sigma_m)} \right)^{\frac{1}{m}}. \quad (2)$$

Контур петли гистерезиса при асимметричном циклическом нагружении показан на рис. 1.

Циклическое нагружение элементов конструкций переменной толщины связано с возникновением, наряду с растяжением, напряжений от изгиба. В таком случае зависимость для определения величины коэффициента концентрации напряжений целесообразно задавать в виде

$$K_T = \frac{K_T^o \cdot \sigma_H^o + K_T^u \cdot \sigma_H^u}{\sigma_H^o + \sigma_H^u},$$

где  $\sigma_H^o$  - номинальное осевое напряжение, под которым в дальнейшем будем понимать напряжение от растяжения или сжатия:  $\sigma_H^o = \frac{P}{F}$ ;

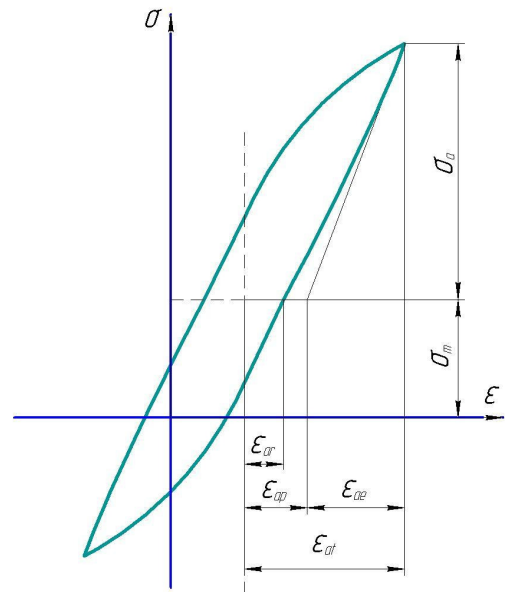


Рис. 1 - Контур петли гистерезиса при асимметричном нагружении

$\sigma_H^u$  - номинальное напряжение от изгиба:  $\sigma_H^u = \frac{M}{W}$ .

$K_T^o$ ,  $K_T^u$  - теоретические коэффициенты концентрации напряжений при растяжении и изгибе.

Если величина изгибных напряжений нелинейно зависит от действующей нагрузки, она может быть найдена в результате расчета геометрически нелинейной задачи методом конечных элементов (МКЭ) [3]. Применительно к элементам конструкций с концентратором напряжений величина коэффициента концентрации оказывается зависимой от действующей нагрузки.

Введем понятие об обобщенном коэффициенте концентрации амплитуды напряжения  $K_{Ta}$ , который позволит учесть изменение теоретического коэффициента концентрации вследствие геометрической нелинейности в зависимости от величины прикладываемой нагрузки.

В общем случае  $K_{Ta}$  можно выразить в следующем виде

$$K_{Ta} = \frac{\sigma_{max}^y - \sigma_{min}^y}{\sigma_{max\ H}^{\Sigma} - \sigma_{min\ H}^{\Sigma}}, \quad (3)$$

где  $\sigma_{max}^y$ ,  $\sigma_{min}^y$  - максимальное и минимальное напряжения на контуре отверстия при упругом деформировании с максимальным и минимальным номинальными напряжениями цикла нагрузок

$$\begin{aligned} \sigma_{max}^y &= K_T^o \cdot \sigma_{max\ H}^o + K_T^u \cdot \sigma_{max\ H}^u, \\ \sigma_{min}^y &= K_T^o \cdot \sigma_{min\ H}^o + K_T^u \cdot \sigma_{min\ H}^u; \end{aligned}$$

$\sigma_{max\ H}^{\Sigma}$ ,  $\sigma_{min\ H}^{\Sigma}$  - максимальное и минимальное суммарные номинальные напряжения:

$$\sigma_{max\ H}^{\Sigma} = \sigma_{max\ H}^o + \sigma_{max\ H}^u; \quad \sigma_{min\ H}^{\Sigma} = \sigma_{min\ H}^o + \sigma_{min\ H}^u;$$

$\sigma_{max\ H}^o$ ,  $\sigma_{min\ H}^o$  - номинальные осевые напряжения в максимуме и минимуме цикла;

$\sigma_{max\ H}^u$ ,  $\sigma_{min\ H}^u$  - номинальные напряжения от изгиба в максимуме и минимуме цикла.

Зависимость для определения  $K_{Ta}$  запишем так:

$$K_{Ta} = \frac{(K_T^o \cdot \sigma_{max\ H}^o + K_T^u \cdot \sigma_{max\ H}^u) - (K_T^o \cdot \sigma_{min\ H}^o + K_T^u \cdot \sigma_{min\ H}^u)}{\sigma_{max\ H}^{\Sigma} - \sigma_{min\ H}^{\Sigma}}. \quad (4)$$

Если отсутствуют напряжения от изгиба, формула (4) примет вид

$$K_{Ta} = \frac{K_T^o \cdot \sigma_{max H}^o - K_T^o \cdot \sigma_{min H}^o}{\sigma_{max H}^o - \sigma_{min H}^o}.$$

При этом  $K_{Ta} = K_T^o$ .

В случае отсутствия напряжений от растяжения-сжатия, формулу (4) можно записать так

$$K_{Ta} = \frac{K_T^u \cdot \sigma_{max H}^u - K_T^u \cdot \sigma_{min H}^u}{\sigma_{max H}^u - \sigma_{min H}^u}.$$

В этом случае  $K_{Ta} = K_T^u$ .

Таким образом, при изолированных растяжении-сжатии и изгибе обобщенный коэффициент концентрации амплитуд напряжений равен теоретическому коэффициенту концентрации при растяжении или изгибе.

В случае отсутствия геометрических концентраторов напряжений следует принимать  $K_{Ta} = 1$ .

При определении обобщенного коэффициента концентрации напряжений от совместного действия растяжения-сжатия и изгиба с помощью метода конечных элементов формулу (4) можно также записать в другом виде

$$K_{Ta} = \frac{\sigma_a^y}{\sigma_{ан}^o}, \quad (5)$$

где  $\sigma_a^y$  - амплитуда напряжения на контуре отверстия при упругом

деформировании:  $\sigma_a^y = \frac{\sigma_{max}^y - \sigma_{min}^y}{2}$ ;

$\sigma_{ан}^o$  - амплитуда осевого номинального напряжения:  $\sigma_{ан}^o = \frac{\sigma_{max H}^o - \sigma_{min H}^o}{2}$ .

Такая форма записи позволяет упростить расчет локальных напряжений для малопластичных материалов, хотя величины  $K_{Ta}$ , найденные по формулам (4) и (5), будут отличаться.

Для малопластичных конструкционных материалов амплитуду номинальных деформаций без существенной погрешности можно принимать пропорциональной амплитуде напряжения.

По аналогии с уравнением (1) зависимость для расчета локальных напряжений в случае нагружения элемента конструкции осевыми и изгибными напряжениями запишем в виде

$$\sigma_a \cdot \varepsilon_{at} = K_{Ta}^2 \cdot \frac{(\sigma_{ан})^2}{E} \cdot F_M, \quad (6)$$

где  $\sigma_{ан} = \sigma_{ан}^\Sigma$  - амплитуда суммарных номинальных напряжений

$$\sigma_{ан}^\Sigma = \frac{\sigma_{max н}^\Sigma - \sigma_{min н}^\Sigma}{2}.$$

В случае если  $K_{Ta}$  определен по зависимости (5), следует принимать  $\sigma_{ан} = \sigma_{ан}^o$ .

Поправочную функцию, которая обеспечивает согласование величин упругопластических напряжений и деформаций на контуре отверстия, рассчитанных по уравнению (6) и полученных в результате расчета с использованием МКЭ, можно найти так [2]:

$$F_M = \frac{E \cdot \sigma_a^{МКЭ} \cdot \varepsilon_a^{МКЭ}}{(K_{Ta} \cdot \sigma_{ан})^2},$$

где  $\sigma_a^{МКЭ}$ ,  $\varepsilon_a^{МКЭ}$  - величины упругопластических напряжений и деформаций на контуре отверстия, полученные в результате расчета МКЭ с использованием диаграммы циклического деформирования.

Поправочную функцию следует находить для конкретного материала и концентратора напряжений в зависимости от номинального напряжения.

Следует отметить, что для малых значений пластических деформаций, характерных, например, для циклического нагружения малопластичных алюминиевых сплавов, величину поправочной функции можно принимать равной  $F_M = 1$ . Тем не менее в дальнейшем, не снижая общности, будем учитывать  $F_M$  в правой части уравнения (6).

После подстановки в зависимость (6) уравнения диаграммы циклического деформирования (2) имеем

$$\sigma_a \cdot \left( \frac{\sigma_a}{E} + (1+t) \cdot \left( \frac{\sigma_a}{K(\sigma_m)} \right)^{\frac{1}{m}} \right) = K_{Ta}^2 \cdot \frac{(\sigma_{ан})^2}{E} \cdot F_M. \quad (7)$$

Экспериментально установлено [4], что параметр  $K$  в уравнении (7) зависит от среднего напряжения локального цикла нагружения. Тогда в случае асимметричного цикла номинальных напряжений имеем две неизвестные величины –  $\sigma_a$  и  $\sigma_m$ . Поэтому определение амплитудного и среднего локальных напряжений цикла деформирования материала требует использования дополнительных гипотез. В качестве таковых можно рассматривать положение точек реверса напряжений и деформаций в координатах разгрузки [1]:

- а) реверс в точке А, при этом  $\sigma_m = \sigma_{max} - \sigma_a$ ;
- б) реверс в точке В, при этом  $\sigma_m = \sigma_{min} + \sigma_a$ .

Под реверсом понимаем изменение направления действия нагрузки.

Схема деформирования с реверсом А показана на рис. 2,а, а с реверсом В - на рис. 2,б.

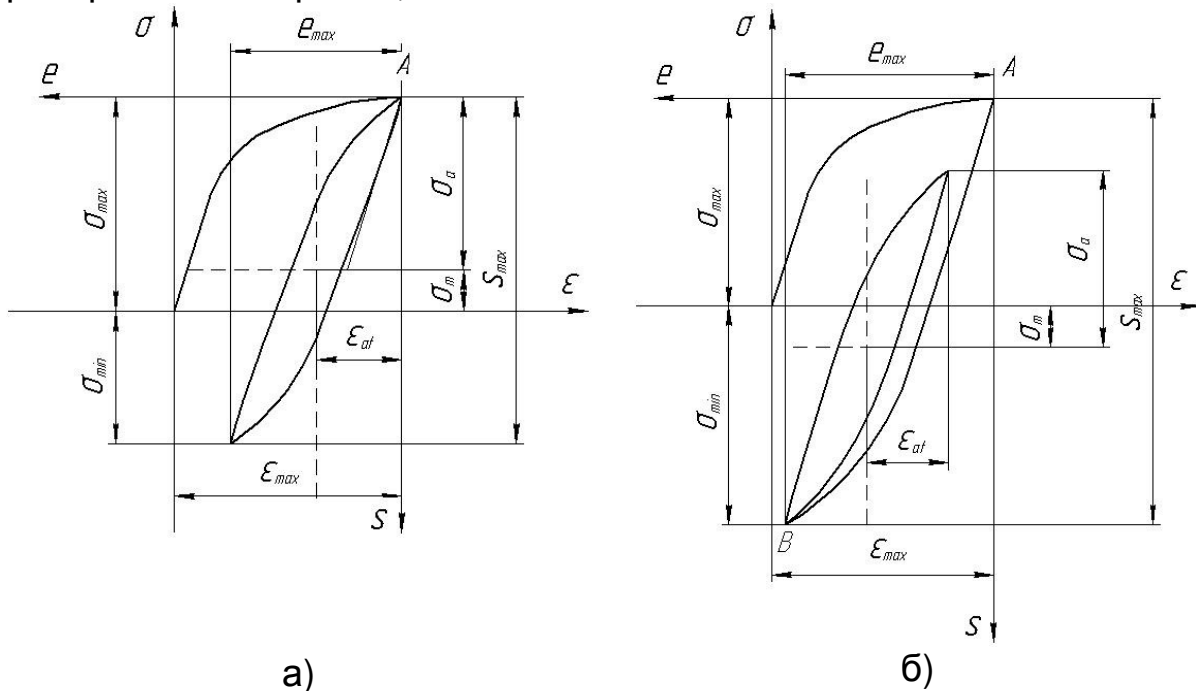


Рис. 2 – Модели деформирования материала в концентраторе напряжений

Первоначальное деформирование материала в концентраторе напряжений на первом полупцикле нагрузки происходит по кривой монотонного (статического) деформирования до достижения максимальных по модулю значений номинальных напряжений цикла

$\sigma_{max H}$ , которые могут соответствовать как максимальным, так и минимальным суммарным номинальным напряжениям:

$$\begin{cases} \sigma_{max H} = \sigma_{max H}^{\Sigma} \text{ при } \sigma_{max H}^{\Sigma} > |\sigma_{min H}^{\Sigma}|; \\ \sigma_{max H} = \sigma_{min H}^{\Sigma} \text{ при } \sigma_{max H}^{\Sigma} < |\sigma_{min H}^{\Sigma}|. \end{cases}$$

Или в случае, если  $K_{Ta}$  определен по зависимости (5),

$$\begin{cases} \sigma_{max H} = \sigma_{max H}^o \text{ при } \sigma_{max H}^o > |\sigma_{min H}^o|; \\ \sigma_{max H} = \sigma_{min H}^o \text{ при } \sigma_{max H}^o < |\sigma_{min H}^o|. \end{cases}$$

Величина максимального локального напряжения  $\sigma_{max}$  найдена в результате решения уравнения

$$\sigma_{max} \cdot \varepsilon_{max t} = K_T^2 \cdot \frac{(\sigma_{max H})^2}{E} \cdot F_M^c, \quad (8)$$

где  $\sigma_{max}$  - локальное максимальное напряжение при упругопластическом деформировании;

$\varepsilon_{max t} = \varepsilon_{max e} + \varepsilon_{max p}$  - полная упругопластическая деформация;

$F_M^c$  - поправочная функция, аналогичная  $F_M$ , но определенная с использованием диаграммы монотонного деформирования.

Поскольку коэффициент концентрации напряжений зависит от нагрузки, то

$$\begin{cases} K_T = \frac{K_T^o \cdot \sigma_{max H}^o + K_T^u \cdot \sigma_{max H}^u}{\sigma_{max H}^o + \sigma_{max H}^u} \text{ при } \sigma_{max H}^{\Sigma} > |\sigma_{min H}^{\Sigma}|; \\ K_T = \frac{K_T^o \cdot \sigma_{min H}^o + K_T^u \cdot \sigma_{min H}^u}{\sigma_{min H}^o + \sigma_{min H}^u} \text{ при } \sigma_{max H}^{\Sigma} < |\sigma_{min H}^{\Sigma}|. \end{cases}$$

Или в случае, если  $K_{Ta}$  определен по зависимости (5),

$$\begin{cases} K_T = \frac{\sigma_{max}^y}{\sigma_{max H}^o} \text{ при } \sigma_{max H}^o > |\sigma_{min H}^o|; \\ K_T = \frac{\sigma_{min}^y}{\sigma_{min H}^o} \text{ при } \sigma_{max H}^o < |\sigma_{min H}^o|. \end{cases}$$

После подстановки в левую часть зависимости (8) уравнения диаграммы монотонного деформирования получим нелинейную относительно  $\sigma_{max}$  зависимость

$$\sigma_{max} \cdot \left( \frac{\sigma_{max}}{E} + \left( \frac{\sigma_{max}}{K_c} \right)^{\frac{1}{m_c}} \right) = K_T^2 \cdot \frac{(\sigma_{max n})^2}{E} \cdot F_M^c,$$

где  $K_c$ ,  $m_c$  – коэффициенты уравнения монотонного (статического) деформирования.

Это уравнение удобно решать численно по методу Ньютона

$$\sigma_{max}^{i+1} = \sigma_{max}^i - \frac{F(\sigma_{max})}{F'(\sigma_{max})},$$

где

$$F = \sigma_{max} \cdot \left( \frac{\sigma_{max}}{E} + \left( \frac{\sigma_{max}}{K_c} \right)^{\frac{1}{m_c}} \right) - K_T^2 \cdot \frac{(\sigma_{max n})^2}{E} \cdot F_M^c;$$

$$F' = \frac{2 \cdot \sigma_{max}}{E} + \frac{1}{1+m_c} \cdot \left( \frac{\sigma_{max}}{K_c} \right)^{\frac{1}{m_c}}.$$

В качестве начального приближения целесообразно принимать  $\sigma_{max} = K_T \cdot \sigma_{max n}$ .

Рассмотрим последовательно формирование локальных циклов деформирования, принимая в качестве точек реверса точки А и В.

**Реверс в точке А.** После достижения  $\sigma_{max n}$  и реверса цикла номинального напряжения координаты разгрузки S – e поместим в точку А.

Предполагаем, что дальнейшее деформирование материала происходит согласно кривой циклического деформирования. Величину максимального локального напряжения в координатах разгрузки найдем из решения уравнения

$$S_{max} \cdot e_{max} = K_{Ta}^2 \cdot \frac{(S_{max n})^2}{E} \cdot F_M.$$

С учетом параметров диаграммы деформирования в координатах разгрузки [5] уравнение примет вид



$$S_{max} \cdot \left( \frac{S_{max}}{E} + 2 \cdot \varepsilon_{ap} \cdot \left( \frac{S_{max}}{2 \cdot \sigma_a} \right)^\gamma \right) = K_{Ta}^2 \cdot \frac{(S_{max \ n})^2}{E} \cdot F_M.$$

Поскольку  $S_{max} = 2 \cdot \sigma_a$  и  $S_{max \ n} = 2 \cdot \sigma_{ан}$ , это выражение примет вид

$$\sigma_a \cdot \left( \frac{\sigma_a}{E} + (1+t) \cdot \left( \frac{\sigma_a}{K(\sigma_m)} \right)^{\frac{1}{m}} \right) = K_{Ta}^2 \cdot \frac{(\sigma_{ан})^2}{E} \cdot F_M$$

Уравнение (7) можно решить численно методом Ньютона, учитывая, что

$$\begin{cases} \sigma_m = \sigma_{max} - \sigma_a & \text{при } \sigma_{max \ n}^\Sigma > |\sigma_{min \ n}^\Sigma|; \\ \sigma_m = \sigma_a - \sigma_{max} & \text{при } \sigma_{max \ n}^\Sigma < |\sigma_{min \ n}^\Sigma|. \end{cases}$$

В качестве начального приближения целесообразно принимать  $\sigma_a = K_{Ta} \cdot \sigma_{ан}$  и  $\varepsilon_{ap} = \varepsilon_{ar}$ .

**Реверс в точке В.** После достижения  $\sigma_{max \ n}$  и реверса цикла номинального напряжения координаты разгрузки  $S - e$  поместим в точку А. Дальнейшее деформирование материала происходит согласно кривой монотонного деформирования. Зависимость для нахождения максимального напряжения в координатах разгрузки имеет вид

$$S_{max} \cdot e_{max} = \frac{K_{Ta}^2 \cdot (S_{max})^2}{E} \cdot F_M^c.$$

С учетом уравнения диаграммы деформирования последнее соотношение примет вид

$$S_{max} \cdot \left( \frac{S_{max}}{E} + 2 \cdot \varepsilon_{ap} \cdot \left( \frac{S_{max}}{2 \cdot \sigma_{max}} \right)^\gamma \right) = \frac{K_{Ta}^2 \cdot (S_{max})^2}{E} \cdot F_M^c. \quad (9)$$

Уравнение (9) можно решить аналогично (8) методом Ньютона, при этом

$$F = S_{max} \cdot \left( \frac{S_{max}}{E} + 2 \cdot \varepsilon_{ap} \cdot \left( \frac{S_{max}}{2 \cdot \sigma_{max}} \right)^\gamma \right) - \frac{K_{Ta}^2 \cdot (S_{max})^2}{E} \cdot F_M^c;$$

$$F' = \frac{2 \cdot S_{max}}{E} + 2(\gamma + 1) \cdot \varepsilon_{ap} \cdot \left( \frac{S_{max}}{2 \cdot \sigma_{max}} \right)^\gamma.$$

В качестве начального приближения можно принять  $S_{max} = 2 \cdot \sigma_{ан}$ .  
Тогда

$$\sigma_{min} = \sigma_{max} - S_{max}.$$

После достижения  $\sigma_{min}$  и реверса цикла номинального напряжения координаты разгрузки  $S - \varepsilon$  поместим в точку В.

Последующее деформирование материала происходит согласно кривой циклического деформирования.

Дальнейший расчет амплитуды локального напряжения в концентраторе выполнен аналогично реверсу в точку А.

Проведено сопоставление значений упругопластических напряжений, полученных согласно (8) с  $F_M = 1$  и МКЭ. Для этой цели выполнены расчеты НДС рабочей зоны образца с выборкой глубиной 2 мм и отверстием диаметром 5 мм при нагружении сжатием. Такой вариант нагружения выбран, поскольку при нем реализуется наибольшее значение величины отношения напряжений от изгиба к осевым напряжениям [3]. Параметры диаграмм монотонного и циклического деформирования соответствуют характеристикам сплава Д16. Применительно к монотонному деформированию результаты расчета показаны на рис.3, сплошная кривая соответствует уравнению (8), пунктирная – МКЭ.

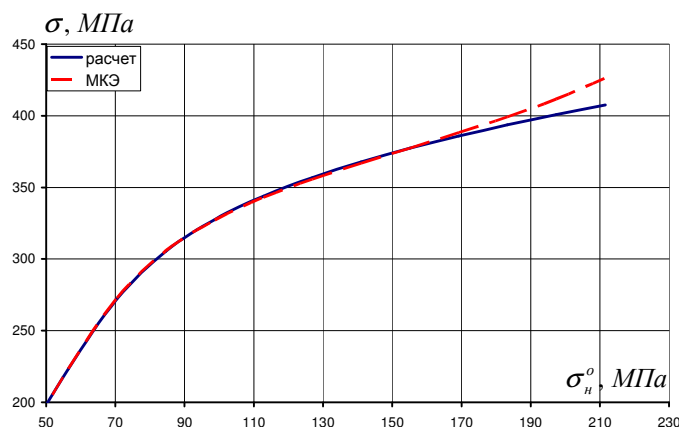


Рис. 3 – Сопоставление упругопластических напряжений

Максимальное отличие упругопластических напряжений для кривой монотонного деформирования не превышает 5%, а для циклической кривой - 1%.

Такое отличие напряжений сопоставимо с разбросами результатов расчетов в зависимости от используемой конечно-элементной сетки и КЭ пакета. С другой стороны, изменение амплитуды упругопластических напряжений на 1...2% для материалов Д16 и В95 приведет к изменению долговечности не более чем на 10%. Поэтому при расчете упругопластических напряжений в элементах конструкций из малоупругих материалов типа Д16 и В95 следует принимать  $F_M = F_M^c = 1$ .

#### Выводы

Разработана методика определения локальных упругопластических напряжений и деформаций в условиях совместного действия растяжения-сжатия и изгиба. Предложена зависимость для определения обобщенного коэффициента концентрации напряжений, позволяющая учесть изменение коэффициента концентрации напряжений в зависимости от действующей нагрузки. Установлено хорошее согласование напряжений, полученных с использованием предложенной методики и метода конечных элементов.

Предложенная методика позволяет сформировать цикл локального упругопластического деформирования материала в концентраторе напряжений.

#### Список использованных источников

1. Махутов Н.А. Деформационные критерии разрушения и расчет элементов конструкции на прочность / Н.А. Махутов – М.: Машиностроение, 1981. – 272 с.
2. Гребенюк Я.В. Прогнозирование долговечности по локальному напряженно-деформированному состоянию элементов конструкций с геометрическими нерегулярностями: дис. канд. техн. наук. – Х., 2004. – 204 с.
3. Третьяков А.С. Анализ напряженно-деформированного состояния плоских образцов нагруженных комбинацией растяжения-сжатия и изгиба / А.С. Третьяков // Вопросы проектирования и производства конструкций летательных аппаратов. Сб. науч. тр. Вып. 2 (58). Х., 2009. – С. 59 – 65.
4. Фомичев П.А. Изменение амплитуды пластической деформации при регулярном и программном нагружении сталей. / П.А. Фомичев, И.Ю. Трубочанин // Пробл. прочности. - 1991. - N 2. - С. 39 – 44.
5. Фомичев П.А. Уравнение контура и коэффициент формы петли гистерезиса. / П.А. Фомичев, И.Ю. Трубочанин // Пробл. прочности. - 1997. - N 3. - С. 30 – 38.

*Поступила в редакцию 21.09.09.*

*Рецензент: д-р техн. наук, проф. Я.С. Карпов,  
Национальный аэрокосмический университет  
им. Н.Е. Жуковского «ХАИ», г. Харьков*